

بررسی گوناگونی ژنتیکی جمعیت‌های راش در ایران (*Fagus orientalis* Lipsky) به وسیله تجزیه و تحلیل داده‌های DNA کلروپلاستی

پروین صالحی شانجانی<sup>۱</sup>

چکیده

گونه راش *Fagus orientalis* Lipsky یکی از فراواترین و از نظر اقتصادی مهم‌ترین درختان شمال ایران است. گوناگونی ژنتیکی راش در ۱۴ توده جنگلی در طول گستره پراکنش این گونه در منطقه هیرکانی به وسیله مطالعات آنزیمی، cpDNA و مورفولوژیکی بررسی گردید.

پلی مورفیسم DNA کلروپلاستی در همان جمعیت‌های راش ایران توسط آزمون PCR-RFLP بررسی گردید. دو منطقه ژنی cpDNA: OA و DT تکثیر و به وسیله آندونوکلازهای محدود کننده *HinfI* و *HaeIII* هضم شدند و قطعات حاصل توسط الکتروفورز ژل پلی‌آکریل امید جداسازی گردیدند. برای شناسایی هاپلوتایپ‌های ایرانی، نیمرخ هضم شده دو منطقه DT و OA به طور همزمان با قطعات ناشی از هضم DNA شاهد هاپلوتایپ از قبل شناخته شده مقایسه گردید. قطعات محدود کننده منطقه DT هیچ پلی‌مورفیسمی در میان افراد جمعیت‌های مورد مطالعه نشان ندادند. در حالی که در میان افراد درون جمعیت‌های مورد مطالعه منطقه اسالم و جمعیت نکا-۱۴۰۰، شاهد وجود پلی‌مورفیسم در قطعات محدود کننده منطقه OA بودیم. در مجموع سه هاپلوتایپ کلروپلاستی متفاوت شماره گذاری شدند. توزیع هاپلوتایپ‌های cpDNA نشان دهنده ساختار جغرافیایی در تمایز ژنتیکی با  $Gst=0.787$  و  $Nst=0.703$  بود. **واژه‌های کلیدی:** *Fagus orientalis* Lipsky، منطقه هیرکانی، گوناگونی ژنتیکی، cpDNA

<sup>۱</sup> - بخش جنگل مؤسسه تحقیقات جنگلها و مراتع، ایران، تهران، صندوق پستی ۱۳۱۸۵-۱۱۶

## مقدمه

DNA کلروپلاست (cpDNA) به شدت محافظت شده بوده و دارای میزان جهش کمتری از توالیهای DNA در ژنوم هسته‌ای گیاه است (Wolfe و همکاران، ۱۹۸۷). به رغم طبیعت محافظت شونده‌ی تکامل cpDNA، گوناگونی در طول و جایگاه آندونوکلیوزهای محدود کننده درون بسیاری از گونه‌ها شناسایی شده است.

گوناگونی درون گونه‌ای cpDNA مطالعه فرایندهای جمعیتی مانند جریان ژن، انتشار بذرها در فواصل طولانی، و تنوع ژنتیکی جمعیتها را بدست می‌دهد و فرصتی نیز برای تعیین چگونگی و نقش متغیرهای cpDNA در اختلاف‌های قابلیت انطباق<sup>۱</sup> را نیز فراهم می‌نماید. این فرایندها به طور مستقیم روی تفسیر تکامل cpDNA به منظور مطالعات فیلوژنتیکی اثر می‌گذارند (Soltis و همکاران، ۱۹۹۲a).

با توسعه روشهای مولکولی، امکان بررسی گوناگونی جغرافیایی با استفاده از نشانگرهای ملکولی و شناخت ساختارهای فیلوجغرافیایی درون گونه‌ای بوجود آمده است (Avisé و همکاران ۱۹۸۷). فیلوجغرافیایی درون گونه‌ای که توسط Avisé و همکاران (۱۹۸۷) به عنوان مطالعه روابط بین فیلوژنی آلها و توزیع جغرافیایی‌شان تعریف شده در علم تکامل کاربردهای بسیاری پیدا کرده است (Dumolin-Lapègue و همکاران، ۱۹۹۷).

مطالعات متعددی در مورد گوناگونی جغرافیایی در خانواده *Fagaceae* با استفاده از نشانگرهای ملکولی cpDNA انجام شده است (Tarbelet و همکاران، ۱۹۹۸؛ Dumolin-Lapègue و همکاران، ۱۹۹۷، ۱۹۹۸؛ Whittmore و Schaal، ۱۹۹۱).

Demeure و همکاران (۱۹۹۶) به وسیله مطالعه جایگاههای آنزیمهای محدود کننده قطعات DNA تکثیر شده با PCR، پلی مورفسیم را در ژنوم کلروپلاست راش اروپایی (*F. sylvatica*) بررسی نمود. آنها در میان ۳۹۹ درخت از ۸۵ جمعیت که در

سطح گسترشگاه طبیعی این گونه پراکنده بودند ۱۱ هاپلوتایپ یافتند که از نظر فیلوژنتیکی قابل بررسی بودند. براساس نتایج آنها جمعیت‌های منتهی‌الیه شمالی (در اروپا) از نظر ژنتیکی همگن بودند که می‌تواند نشان دهنده محدودیت انتشار و استقرار مجدد این گونه در دوران پس از یخچال باشد. آنها معتقد به وجود ارتباط بین توزیع جغرافیایی هاپلوتایپ‌های cpDNA و روابط فیلوژنتیکی‌شان می‌باشند، به طوری که آنها (۱) دو هاپلوتایپ بسیار وابسته به هم در ایتالیا، (۲) دو هاپلوتایپ متعلق به یک دودمان کاملاً جدا شده در کریمه و (۳) یک هاپلوتایپ بسیار فراوان و چندین آلل کمیاب (که وابسته به آلل بسیار فراوان هستند) را که در بیشتر اروپا یافت می‌شوند شناسایی کردند. از آنجایی که راش کریمه نوعی بسیار متمایز بوده و با گسترشگاه گونه راش شرقی همپوشانی دارد احتمال انتقال بین گونه‌ای ژنهای سیتوپلاسمی، مشابه با مورد گزارش شده در بلوط (Petit, ۱۹۹۹؛ Paffetti و همکاران، ۲۰۰۱) وجود دارد.

Geburek و همکاران (نتایج انتشار نیافته) بررسی ۳۷۰ جمعیت اروپایی (با استفاده از روش PCR-RFLP) سطوح بالایی از تمایز ژنتیکی را میان جمعیت‌های راش اروپایی گزارش نمودند. آنها دو گروه اصلی هاپلوتایپ: اولی منشاء گرفته از پناهگاه‌های ایتالیایی و دومی از پناهگاه‌های بالکان را شناسایی کردند. هاپلوتایپ‌های پیدا شده در شبه جزیره بالکان و ترکیه به علت وجود گونه راش شرقی یا دورگ‌های بین *F. orientalis/F. sylvatica* بسیار متفاوت بودند. نتایج آنها با مطالعات قبلی تنوع cpDNA به وسیله Demesure و همکاران (۱۹۹۶) مطابقت دارد.

بررسی توزیع جغرافیایی گوناگونی cpDNA در ژنتیک جمعیتها بسیار جالب‌تر از مطالعه پلی‌مورفسم هسته‌ای است. در نشانگرهایی که دارای وراثت مادری هستند همان گونه که به صورت نظریه به وسیله Birky و همکاران (۱۹۸۹) پیش‌بینی شده نسبت بسیار بالایی از تنوع در میان جمعیتها توزیع شده است. دلیل چنین توزیعی می‌تواند ناشی از نحوه انتقال و جریان ژنها باشد، به طوری که ژنی که به وسیله گامت

نر منتقل می‌گردد ممکن است دوبار یعنی از طریق گرده و بعد از طریق بذر، انتشار یابد، در حالی که ژنی که به وسیله گامت ماده انتقال می‌یابد ممکن است فقط با بذر انتشار یابد (Petit و همکاران، ۱۹۹۳a). سطوح بالای تمایز cpDNA در راش اروپایی ( $Gst=0/4\%$ ) برعکس وضعیت تمایز در ژنهای هسته‌ای (ایزوزیم‌ها) است که  $Gst=0/83\%$  است. اگر فرض کنیم که cpDNA در راش مشابه با سایر گونه‌های خانواده *Fagaceae* مانند بلوط (*Quercus robur*) (Dumolin-Lapègue و همکاران، ۱۹۹۵) دارای توارث مادری است، تفاوت در سطوح تمایز دو ژنوم احتمالاً ناشی از سطوح بسیار بالاتر جریان گرده در مقایسه با انتشار بذر است (Petit و همکاران، ۱۹۹۳a و McCauley، ۱۹۹۴).

در یک دید کلی تشریح ساختار جغرافیایی درختان جنگلی از آنجایی مهم است که گونه‌های درختی بسیاری دارای گستره جغرافیایی وسیعی بوده و توان بالایی برای انشعاب جغرافیایی دارند. به علاوه، شناخت ساختار ژنتیکی آنها روی مدیریت اصلاح درختان و برنامه‌های حفاظت راش اثر می‌گذارد (Demesure و همکاران، ۱۹۹۶).

### مواد و روشها

نمونه‌های گیاهی با نمونه‌برداری از ۱۴ جمعیت طبیعی راش صورت گرفت که بخش وسیعی از گستره پراکنش راش (*Fagus orientalis* Lipsky) را در شمال ایران زیر پوشش قرار داد. جنگلهای راش ایران روی شیب شمالی رشته کوه البرز در محدوده ارتفاعی ۵۰۰-۲۱۰۰ متر از سطح دریا واقع هستند. آنها نواری جنگلی به طول ۷۰۰ کیلومتر را در سه استان گیلان، مازندران و گلستان تشکیل می‌دهند.

به این منظور پنج نقطه در طول گسترشگاه راش از غرب به شرق (اسالم در استان گیلان، خیرود، سنگده و نکا در استان مازندران و گرگان در استان گلستان) جنگلهای هیرکانی انتخاب شده و در هر نقطه سه پایگاه (ارتفاعهای پایین، میان و بالابند، به

استثنای منطقه نکا که به علت نامساعد بودن وضعیت آب و هوایی فقط دو قطعه نمونه در نظر گرفته شد) مستقر گردید. اختصارهای بکار برده شده در متن برای نام و ارتفاع جمعیت‌های مورد مطالعه عبارتند از: گ-۲۰۰۰، گ-۱۴۰۰ و گ-۶۰۰ (برای منطقه گرگان ارتفاعهای ۲۰۰۰، ۱۴۰۰ و ۶۰۰)، ن-۱۴۰۰ و ن-۹۰۰ (برای منطقه نکا ارتفاعهای ۱۴۰۰ و ۹۰۰)، س-۱۹۰۰، س-۱۴۰۰ و س-۹۰۰ (برای منطقه سنگده ارتفاعهای ۱۹۰۰، ۱۴۰۰ و ۹۰۰)، خ-۲۰۰۰، خ-۱۲۰۰ و خ-۶۰۰ (برای منطقه خیرود ارتفاعهای ۲۰۰۰، ۱۲۰۰ و ۶۰۰)، الف-۱۹۰۰، الف-۱۲۰۰ و الف-۶۰۰ (برای منطقه اسالم ارتفاعهای ۱۹۰۰، ۱۲۰۰ و ۶۰۰).

جوانه‌های خواب درختان راش از ۱۴ جمعیت طبیعی راش‌های (۵-۶ درخت غیر مجاور) فوق جمع‌آوری شدند و به وسیله نشانگرهای کلروپلاستی و از روش PCR-RFLP مورد آزمون قرار گرفتند. DNA از جوانه‌های خواب (۱۰۰ میلی‌گرم به عنوان ماده اولیه) با استفاده از کیت (Germany, Macherey Negel Nucleospin plant) جداسازی گردید.

عصاره‌ها (یک میکرولیتر به ازای هر چاهک) به وسیله دستگاه الکتروفورز روی ژل آگارز ۱٪ (W/V) با نیروی برق ۱۰ ولت در سانتیمتر به مدت یک ساعت و بافر TEA X ۵۰ حاوی  $0.5 \text{ mgml}^{-1}$  (W/V) اتیدیوم برماید کنترل شده و ژل‌ها پس از عکس‌برداری با یک اسکنر UVP تجزیه شدند (شکل شماره ۱).

دو قطعه ژنی *trnD-trnT* و *orf184-petA* با استفاده از پرایمرهای اختصاصی کلروپلاستی (DT (Demesure و همکاران، ۱۹۹۵) و OA (Grivet و همکاران، ۲۰۰۱) (جدول شماره ۱) و از طریق PCR تکثیر شدند. ژل‌ها پس از عکس‌برداری با یک اسکنر UVP تجزیه شدند (شکل شماره ۲).

فرآورده‌های تکثیر DT و OA ( $15 \mu\text{L}$  حاوی  $1 \text{ mg}$  DNA) به ترتیب با ۵ واحد آنزیم محدود کننده *Hinf I* و *Hae III* در حجم نهایی  $20 \mu\text{L}$  در  $37^\circ\text{C}$  به مدت ۴

ساعت تیمار شدند. محصول نهایی به وسیله الکتروفورز روی ژل پلی‌اکریل‌آمید غیر تقلیبی تعیین ترادف ۸٪ (W/V) تجزیه شدند.

ژل‌ها پس از رنگ‌آمیزی با ایتدیوم‌برماید عکس‌برداری شده و با اسکنر ژل UVP بررسی شدند. از یک DNA شاهد (لدر ۱۰۰ bp) به عنوان نشانگر اندازه استفاده شد (مثال: شکل‌های شماره ۴-۵).

پلی‌مورفیسم ناشی از جهش نقطه‌ای و حذف و اضافه می‌باشد. قطعات پلی‌مورفیک براساس کاهش طول قطعه در ژل پلی‌اکریل‌آمید نام‌گذاری شده بودند. هاپلوتایپ‌ها براساس ترکیب‌های مختلف قطعات پلی‌مورفیک شناسایی شده تعیین شدند.

**روش‌های آماری:** گوناگونی در هر دو قطعات DT و OA مورد بررسی به عنوان جهش‌های نقطه‌ای یا حذف و اضافه بازها نسبت داده می‌شود. ترکیب این متغیرها در هر دو لوکوس تعیین کننده یک هاپلوتایپ است.

عوامل تنوع ژنتیکی (ht و hs) و تمایز ژنتیکی (Nst و Gst) در ژنوم کلروپلاست از روش‌های Pons و Petit (۱۹۹۵ و ۱۹۹۶) با استفاده از نرم‌افزار HAPLODIV برآورد گردید. تنوع ژنتیکی درون جمعیتها به وسیله فرمول زیر محاسبه می‌گردد:

که  $hs = 1 - \sum_{i=1}^n P_i^2$ ، P، فراوانی نسبی هاپلوتایپ دو لوکوسه درون یک جمعیت

است. تنوع جمعیت کل از طریق میانگین حسابی کل هاپلوتایپ‌های دو لوکوسه محاسبه

می‌گردد. برای برآورد تمایز ژنتیکی G<sub>stc</sub> Nei (۱۹۷۷) که به وسیله Pons و Petit

(۱۹۹۵) اصلاح شده از فرمول زیر استفاده شد که hs برآورد تنوع درون جمعیتها و ht

برآورد تنوع جمعیت کل است:  $G_{stc} = 1 - hs/ht$ . بر خلاف G<sub>stc</sub> که فقط براساس

فراوانی هاپلوتایپ‌ها محاسبه می‌شود، Nst شباهت ژنتیکی بین هاپلوتایپ‌ها را نیز

بررسی می‌کند. این دو عامل از طریق U-test مقایسه شدند. میزان شرکت یک جمعیت

در تنوع کل (C<sub>i</sub>) نیز توسط نرم‌افزار مذکور محاسبه و مقایسه شد (Petit و همکاران،

(۱۹۹۷). نسبت جریان گرده (Pollen Flow) به جریان بذر (Seed Flow) با استفاده از معادله Ennos (۱۹۹۴) محاسبه شد.

$$\frac{\text{pollenflow}}{\text{seedflow}} = \frac{\left(\frac{1}{Gstb} - 1\right) - 2\left(\frac{1}{Gstc} - 1\right)}{\left(\frac{1}{Gstc} - 1\right)}$$

### نتایج

برای بررسی گوناگونی ژنتیکی جمعیت‌های راش ایران با استفاده از روش PCR-RFLP، دو قطعه از cpDNA به نام‌های DT و OA تکثیر و تجزیه شدند. مناطق DT و OA از cpDNA قبلاً در جمعیت‌های ایتالیایی *Fagus sylvatica* تکثیر و تعیین توالی شده بودند. اندازه مناطق DT و OA به ترتیب از ۱۶۶۱ تا ۱۶۶۴ جفت باز و از ۲۸۸۹ تا ۲۸۹۳ جفت باز متغیر بود. تجزیه توالی مناطق فوق نشان دادند که ۱- منطقه DT شامل بخشی از ژن trnD (tRNA-Asp)، ژن trnY (tRNA-Tyr)، ژن trnE (tRNA-Glu) و بخشی از ژن trnT (tRNA-Thr)، ۲- منطقه OA شامل بخشی از ژن orf ۱۸۴، ژن orf ۲۲۹ و بخشی از ژن Pet A است. دو جایگاه محدود کننده *HaeIII* و ۱۲ جایگاه محدود کننده *HinfI* به ترتیب در مناطق DT و OA شناسایی شده است (جدول شماره ۲). براساس توالی‌های *F. sylvatica* قطعات مورد انتظار پس از هضم مناطق DT و OA شامل (۱) ۳ قطعه برای DT (۲۰، ۴۹۶-۴۹۹ و ۱۱۴۵ جفت باز) و (۲) ۱۳ قطعه برای OA (۸۴۰، ۴۶۶-۴۶۲، ۳۰۳، ۲۷۵، ۲۳۲، ۲۲۸، ۱۸۱، ۱۶۶، ۸۱، ۵۳، ۴۲، ۲۱ و ۵ جفت باز) است. قطعات پلی‌مورفیک DT و OA به ترتیب ۴۹۹-۴۹۶ جفت باز و ۴۶۶-۴۶۲ جفت باز دارند. دو میکروسانلایت [DT-CDR1: تکرارهای تک نوکلئوتیدی A (۱۲/۹)؛ و DT-CDR2: تکرارهای تک نوکلئوتیدی A (۷)] در قطعه

پلی‌مورفیک DT (از ۴۹۶ تا ۴۹۹ جفت باز) و سه میکروساتلایت [OA-CDR1: تکرارهای تک نوکلئوتیدی T (۱۰/۹)؛ OA-CDR2: تکرار تک نوکلئوتیدی T (۸/۹)؛ و OA-CDR3: تکرار تک نوکلئوتیدی T (۱۲/۹)] در قطعه پلی‌مورفیک OA (از ۴۶۲ تا ۴۶۶ جفت باز) پیدا شدند. توالی مناطق DT و OA در راش با همان مناطق در *Nicotiana tabacum* به ترتیب ۹۰٪ و ۸۰٪ شباهت نشان دادند (شکل شماره ۳). هیچ اختلافی در اندازه فرآورده‌های تکثیر شده DT و OA در میان جمعیت‌های راش ایرانی توسط الکتروفورز روی ژل آگارز مشاهده نشد (شکل شماره ۲).

برای شناسایی هاپلوتایپ‌های ایرانی، نیمرخ هضم شده دو منطقه DT و OA به طور همزمان با قطعات ناشی از هضم DNA شاهد هاپلوتایپ از قبل شناخته شده (به لطف پرفسور IMGPF-CNR, Giannini، ایتالیا، در اختیار قرار گرفت) مقایسه گردید. قطعات محدود کننده منطقه DT هیچ پلی‌مورفیسمی در میان افراد جمعیت‌های مورد مطالعه نشان ندادند. در حالی که در میان افراد درون جمعیت‌های مورد مطالعه منطقه اسالم و جمعیت نکا-۱۴۰۰، شاهد وجود پلی‌مورفیسم در قطعات محدود کننده منطقه OA بودیم. با مقایسه همزمان نیمرخ‌های هضم شده مناطق DT و OA با قطعات هضم شده DNA شاهد هاپلوتایپ‌های از قبل شناخته شده، امکان تعیین متغیرهای DT و OA جمعیت‌های راش ایران بدست آمد (مثال: شکل‌های شماره ۴ و ۵). در منطقه DT به استثناء درختان جمعیت خیرود-۶۰۰ که قطعه پلی‌مورفیکی به طول ۴۹۸ جفت باز داشتند درختان سایر جمعیت‌های مورد مطالعه دارای قطعه پلی‌مورفیک مشابه ۴۹۶ جفت بازی بودند. طول قطعه پلی‌مورفیک در منطقه OA در یکی از درختان جمعیت نکا-۱۴۰۰ و نیمی از درختان جمعیت‌های منطقه اسالم ۴۶۳ جفت باز و در باقی درختان جمعیت‌های مورد مطالعه ۴۶۲ جفت باز بود. به عبارت دیگر پس از تجزیه با آنزیم‌های محدود کننده، دو متغیر در هر یک از مناطق DT و OA یافت شدند که با هم به



صورت ۳ هاپلوتایپ cpDNA ترکیب شدند (جدولهای شماره ۳ و ۴). توزیع هاپلوتایپ‌های مشاهده شده در هر جمعیت در جدول شماره ۵ نشان داده شده است. بخش عمده هاپلوتایپ‌ها در یک مورد جهش با هم اختلاف داشتند. توزیع جغرافیایی هاپلوتایپ‌های cpDNA در جمعیت‌های مطالعه شده در شکل شماره ۶ نشان داده شده است. فراوانترین هاپلوتایپ، هاپلوتایپ ۲ با فراوانی ۰/۷۹ است که به استثناء یک جمعیت (خیرود- ۶۰۰) در تمام دامنه پراکنش راش در جنگلهای هیرکانی وجود دارد. یک هاپلوتایپ نسبتاً نادر با فراوانی ۰/۱۰۲ (هاپلوتایپ ۳) در فرد یا افرادی از برخی جمعیت‌های غرب جنگلهای هیرکانی (اسالم- ۶۰۰، اسالم- ۱۲۰۰ و اسالم- ۱۹۰۰) یا در یک جمعیت در مرکز جنگل‌های هیرکانی (نکا- ۱۴۰۰) مشاهده گردید. هاپلوتایپ ۱۴ ویژه به جمعیت خیرود- ۶۰۰ دارد و بیشترین تمایز cpDNA در میان جمعیتها توزیع شده است ( $Gst = ۰/۶۸۷$ ). میزان  $Nst (۰/۷۰۳)$  مشابه با  $Gst (۰/۶۸۷)$  است که نشان دهنده همترازی فیلوژنتیکی هاپلوتایپ‌ها است. تنوع ژنتیکی کل ( $ht$ ) ۰/۳۶۴ بود که میزان شرکت جمعیت‌های خیرود- ۶۰۰، اسالم- ۱۹۰۰، اسالم- ۱۲۰۰ و Asalem- ۶۰۰ در تنوع کل به ترتیب ۰/۲۹، ۰/۲۶، ۰/۲۶، ۰/۲۷ است. نتایج بدست آمده از کاربرد فرمول Ennos (نسبت جریان گرده به بذر) نشان می‌دهد که جریان گرده میان جمعیتها ۴۴ بار بزرگتر از جریان بذر است.

### بحث

در گونه راش شرقی *F. orientalis* جنگلهای هیرکانی ۳ هاپلوتایپ cpDNA تشخیص داده شد. توزیع هاپلوتایپ‌های PCR-RFLP نشا می‌دهد که: (۱) فراوانترین هاپلوتایپ (شماره ۲) به استثناء یک جمعیت در تمام جمعیت وجود دارد، (۲) ۱۰ تا از ۴ جمعیت منومورفیک هستند (توسط هاپلوتایپ ۲ و ۱۴). این مشاهدات نشان می‌دهد که تنوع ژنتیکی راش شرقی در ایران دارای ساختار جغرافیایی می‌باشد.

مطالعات بسیاری، ساختار جغرافیایی برای گوناگونی cpDNA در سطح زیر گونه‌ای گزارش نموده‌اند (Mayer و همکاران، ۱۹۹۴؛ Sewell و همکاران، ۱۹۹۶؛ Dumolin- Lapégué و همکاران، ۱۹۹۷؛ Soltis و همکاران، ۱۹۸۹؛ Van Dijk و Bokx-Schatman، ۱۹۹۷؛ Wolf و همکاران، ۱۹۹۷؛ King و Ferris، ۱۹۹۸؛ Tremblay و Schoen، ۱۹۹۰؛ Abbott و همکاران، ۲۰۰۰). به علاوه گوناگونی cpDNA درون گونه‌ای در میان گونه‌های راش شامل *Fagus sylvatica* (Demesure و همکاران، ۱۹۹۶)، *F. crenata* (Fujii و همکاران، ۲۰۰۲) گزارش شده است. نتایج بیشتر این مطالعات پیشنهاد می‌کند که وقایع تاریخی کلیدی (مانند وقایع یخبندان) ساختار جغرافیایی گوناگونی cpDNA را شکل داده‌اند.

در پژوهش حاضر، هاپلوتایپ ۲ به استثناء جمعیت خیرود-۶۰۰ در تمام جمعیتها توزیع پیدا کرده بود و هاپلوتایپ ۳ که بیشتر در مناطق غربی مشاهده شد این مناطق را از مناطق باقیمانده جدا نمود. چنین توزیعی می‌تواند ناشی از اختلافهای محیطی به ویژه در میزان بارندگی، رطوبت هوا، نوع هوموس و سنگ مادر از شرق به غرب باشد (مروری مهاجر، ۱۳۵۵، پارسا پژوه، ۱۳۵۵؛ حبیبی، ۱۳۶۴). توضیحی دیگر برای طرح توزیع هاپلوتایپ‌های cpDNA می‌تواند به تاریخچه مهاجرت راش در طول توزیع تاریخی راش در دوران سوم از اسالم (منطقه بسیار پلی‌مورفیک) به شرق جنگلهای هیرکانی نسبت داده شود. زیرا نتایج مطالعات درباره تنوع ژنتیکی راش اروپایی نشان داده است که گوناگونی ژنتیکی با طول زمان رابطه مستقیمی دارد. چنانچه Demesure و همکاران (۱۹۹۶) تنوع cpDNA و ساختار جغرافیایی راش اروپایی *F. sylvatica* را بررسی کردند. آنها توزیع گسترده یک هاپلوتایپ cpDNA منفرد را در شمال اروپا و چندین هاپلوتایپ را در جنوب اروپا (پناهگاههای ایتالیا و فرانسه) تشخیص دادند.

جمعیت راش خیرود-۶۰۰ که از نظر نوع هاپلوتایپ cpDNA از سایر جمعیت‌های راش ایران متمایز بود دارای سطوح بالایی از گوناگونی آلوزیمی نیز بود که اساساً به علت فراوانی آللهای نادر، است.

سطح تمایز ژنتیکی کلروپلاستی در گونه‌های اروپایی خانواده *Fagaceae* بسیار بالا است:  $F. sylvatica = 0/902$  (Demesure و همکاران، ۱۹۹۶)،  $Q. petraea = 0/829$ ،  $Q. pubescens = 0/907$  و  $Q. robur = 0/782$  (Dumolin-Lapégué و همکاران، ۱۹۹۷). در راش ایرانی برخلاف تنوع و تمایز محاسبه شده به وسیله نشانگرهای ژنی ایزوآنزیمی که دارای ساختار مشخصی نیست ولی در سطح تمایز ژنتیکی کلروپلاستی، ساختار جغرافیایی تقریباً نسبتاً متمایزی ( $Gst = 68/7\%$ ) مشاهده می‌شود که می‌تواند از آنجایی باشد که ژنهای هسته‌ای از طریق دانه گرده و بذر ولی ژنهای کلروپلاستی فقط از طریق بذر منتقل می‌شود. وضعیت مشاهده شده ناشی از کارایی خوب انتشار ژنهای هسته‌ای از طریق گرده به وسیله باد و عدم انتشار ژنهای کلروپلاستی از طریق بذرها سنگین به فواصل دور است.

بررسی گوناگونی cpDNA درون گونه‌ای ثابت کرده است که عمده گوناگونی در میان جمعیتها قرار دارد و سطوح گوناگونی درون جمعیتی بسیار پایین است (Soltis و همکاران، ۱۹۸۹، ۱۹۹۱؛ Kim و همکاران، ۱۹۹۲؛ Petit و همکاران، ۱۹۹۳). در مطالعه‌ای مقایسه‌ای تمایز ژنتیکی کلروپلاستی برای ۹۷ گونه  $= 0/7$  اندازه‌گیری شد که این برآورد برای گونه‌های درختی نهانده  $= 0/73$  بود. گونه‌های خانواده *Fagacea* که بذرها سنگین تولید می‌کند مانند *F. sylvatica*، *Quercus robur* و *Q. petraea* دارای تمایز ژنتیکی کلروپلاستی بین  $0/83-0/90$  هستند (Demesure و همکاران، ۱۹۹۶؛ Dumolin-Lapégué و همکاران، ۱۹۹۷). در حالی که در *Populus termula* L. نشانگرهای کلروپلاستی تمایز ژنتیکی بسیار پایینی را در میان جمعیتها نشان دادند ( $Gst=0/22-0/7$ ) که حدود ۴-۱۰ بار کمتر از میانگین  $Gst$  برآورد شده در گونه‌های

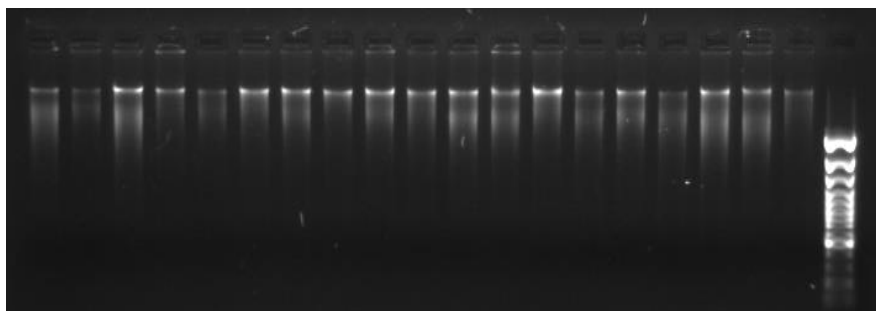
جنگلی پهن برگ برای نشانگرهایی با وراثت مادری است. این موضوع اساساً می‌تواند به کارآیی بالایی انتشار بذرها *P. tremula* به وسیله باد به فواصل دور و در نتیجه عدم ساختار جغرافیایی محسوس در تنوع ژنتیکی نسبت داده شود (Salvini و همکاران، ۲۰۰۱).

نسبت شارش یا جریان گرده به بذر برای راش ایرانی ۴۴ است. این میزان قابل مقایسه با سایر گونه‌های باد گرده‌افشان خانواده *Fagaceae* (*Quercus robur* = ۲۸۶، *Q. petraea* = ۵۰۰ و *F. sylvatica* = ۸۴، Petit، ۱۹۹۹) و مغایر با شاه بلوط (*Castanea sativa* = ۱، Fineschi و همکاران، ۲۰۰۰) است که حشرات در گرده‌افشانی شرکت می‌کنند و انسان نقش مؤثری در انتقال میوه‌ها و قلمه‌ها به نقاط مختلف دارد. به عبارت دیگر، نسبت شارش یا جریان گرده به بذر در مواردی که گرده‌افشانی با حشرات انجام می‌شود یا مکانیسم‌های مؤثری برای انتشار بذر وجود دارد پایین است (Fineschi و همکاران، ۲۰۰۰).

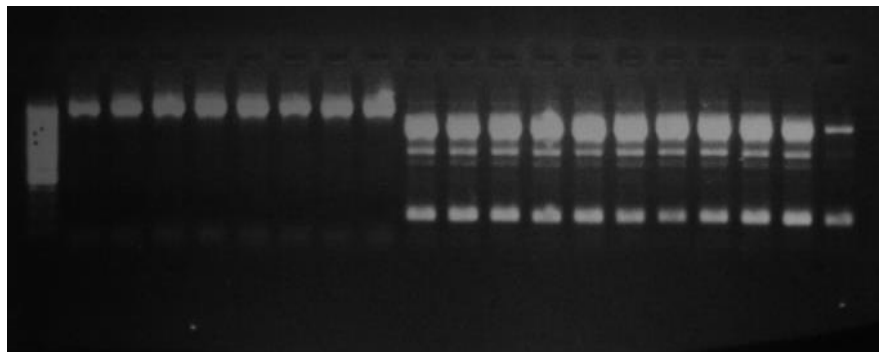
براساس مطالعات حاضر می‌بایست اهمیت خاصی به جمعیت‌های خیرود- ۶۰۰ و اسالم برای حفاظت سریع آنها در برابر عوامل موجود داد.

### سپاسگزاری

به این وسیله از پروفیسور رافائلو جیانینی رئیس و خانم دکتر کریستینا وتوری عضو هیأت علمی مؤسسه ژنتیک گیاهی، فلورانس، ایتالیا که در اجرای این پژوهش مرا یاری نمودند قدردانی می‌شود.



شکل شماره ۱- نمونه‌ای از الکتروفورز DNA استخراج شده (به همراه نشانگر 100 bp، اولین ستون از سمت راست) روی ژل آگارز.



شکل شماره ۲- نمونه‌ای از الکتروفورز قطعات OA و DA تکثیر شده روی ژل آگارز. ستون اول از سمت چپ: نشانگر مولکولی (لدر 100 bp)، از ستون دو تا نهم: قطعات OA و از دهم تا نوزدهم: قطعات DT است.

جدول شماره ۱- جزئیات پرایمرها و آنزیمهای محدود کننده

ژن	عملکرد	جفت پرایمرها و توالی	کد	آنزیم محدود کننده
<i>TrnD</i>	tRNA-Asp	ACCAATTGAACTACAATCCC	DT	<i>HaeIII</i>
<i>TrnY</i>	tRNA-Tyr	CTACCACTGAGTAAAAAGGG		
<i>trnE</i>	tRNA-Glu			
<i>trnT</i>	tRNA-Thr			
<i>orf184</i>	Hypothetical protein	TGGCGATCAGAACATATATGGATAG	OA	<i>HinfI</i>
<i>orf226</i>	ORF184	CCCTCGGAAACAAGAAGTT		
<i>petA</i>	Hypothetical protein			
	ORF226			
	Cytochrome f			

جدول شماره ۲- اندونوکنازهای محدود کننده مورد استفاده در *Nicotina tabacum* و *Fagus orientalis / F. sylvatica* و تعداد جایگاههای محدود کننده در قطعات DT و OA

<i>F. orientalis / F. sylvatica</i>	<i>N. tabacum</i>	توالی تشخیص آنزیم	آنزیم محدود کننده
۲	۳	5' GG/CC 3'	<i>Hae III</i>
۱۳	۱۵	5' G/ANTC 3'	<i>Hinf I</i>

G یا T, C, A = N

جدول شماره ۳- اندازه قطعات تکثیر شده DT و OA، تعداد و نوع متغیرهای مشاهده شده

کد پرایمر	اندازه تقریبی فرآورده (bp) PCR	تعداد کل باندهای RFLP <sup>(۱)</sup>	اندازه باندهای پلی مورفیک (bp)	تعداد کل متغیرها <sup>(۲)</sup>	کد هر متغیر	نوع جهش هر متغیر
DT	۱۶۶۴-۱۶۶۱	۳	۴۹۸-۴۹۶	۲	۱ و ۴	حذف / اضافه
OA	۲۸۷۶-۲۸۷۵	۱۴	۴۶۳-۴۶۲	۲	۳ و ۴	حذف و اضافه

(۱) نشان دهنده تعداد کل باندهای مورد انتظار بعد از هضم هر قطعه تکثیر شده

(۲) نشان دهنده تعداد متغیرهای مشاهده شده در قطعات DT و OA

**DT:**

ACCAATGAACTACAATCCCAGGGAATACGGGATCAGCAGAAAATTTGATTCTTTTTATCTCCGGAT  
 CGGGTATTTCTGAAGTACGAAGGGGGTTATATCATCTCATGGCGGATTGGCGAATTTTTGGCCGAGCTGG  
 ATTTGAACCACGCTAGACATATTGCCAACGAATTTACAGTCCGTCGCCATTAACCGCTCGGGCATCGACCC  
 AAGAAGAATCAATTTTAGACTTATTGGTAATCCATGATCAACTTCTTTCTAGTACCTACCCCGAGGGG  
 AATTCGAATCCCCGTGCCTCCTTGAAGAGAGATGTCTAAACCTAGACGATGGGGGGCTGCTTGACC  
 AACCGCCATCATACTATGATCATAGTATGATCAGTTTTTTGAAATTTGCAATAAATCGAATGATTTCTATCC  
 GAGGGATCTTTCCCGCTTTCAGAAATGTCATAGAATTTTTTTTATTCTGTCATTGATGAATTTCTATTAGAAT  
 GCCATTAGAAATCTAGTAGTAGTATTTTTTTTTTTTGGAAATTATTTCAATTGAATTTCTTTTCGATTATTTA  
 GTTTAGATTATTTAGTATTTAGAAATTTCTTTTTTTTATTATAAATAAAAAAAAAAATAAATAACAAAAA  
 TAGAAATAAAGGAAGAGTAGGATTTTTGCAGGGAATGATTTGGTCCGTCAGAAAAAGGAAAAAGGTGTGA  
 AATTCATTTCTTTCACTTTTCATTTGATTCAATTTGATTGTTAAAGACGAGATATCCTTATCTCCCTCCACCAAGACAG  
 GAAATTAACAAACGAGAAATCTAGTAAGCGGGATCAAGAAAGAAAAATCTTTTTTCTCCAAGAAATTTAGTTC  
 AGGAGACAAGTAGAATCTCTTCCATGATTCGATGAAATATCTTGAATTTATGTTGAATTTGCTAGGT  
 GTATGTACATGTATCAATCAAGTGAATTTGTTCTGGTGGGATCAATTAATAAAGAAAAAAGCAATTC  
 GAGTCGGTCTTGAACAATTCATTGCAATTTCTCCTAGACTTCTAGGTAATCCATTTTATTATCAACAA  
 TGAGCCTAGACACTATGTATCTACTGCATGACTTATGCATATATACTTATGTTTATAAATATGTAACCT  
 ATAGATATTTTATCCACATAGTGAATAAATCCGGAATTAATCAAAAAAGGCCCTTTTAACTCAGTGGTAG

**OA:**

TGGCGATCAGAACATATATGGATAGA AACTTATAACGGGGTCTCGAAAAATAAGTAATTTCTGCTGGGCC  
 TTTATCCTTTTTTAGGTTCAATTAGGCTTCTTATTAGTTGGAACCTCCAGTTATCTTGGTAGAAATTTGATAT  
 CTTTTTTCCGCTCAGCAATCATTTTTTTCCACAAGGACTCGTGATGCTTTCTACGGAATTTGCGGGTCT  
 CTTTATTAGCTCTTATTGTTGGTGCACAATTTCTGGAAATGATAGGTAGTGGTTATGATCGATTGATAGAAA  
 GGAAGGAATAGTCTGTATTTTTCGTTGGGGATTTCGCGGAAAAATCGTCGCATATTCTCCCTCCACCAAGACAG  
 AAAAGATATTCAGTCCGTTAGAATAGAAGTTAAAGAGGGTATTCTGCTCCTGCTGTTCTTTATATGGACA  
 TCCGAGGCCAGGGTCCATTTCCCTTACTGCTGACTGATGAGAATTTGACTCACGAGAAATGAAACAAAAG  
 TCGTCTGAATAGCCATTTTCTTGGCTGTACCAATGAAAGTATTTTGAGAAATTTGAGATATCAGTATCAGTA  
 AAACAATATTCGAATTTCTTCTATTCGAAGTGAATTTTACTGTTTTTTCTGATTCTTCTAGATTCAAGAA  
 TAAACCACAAAATCACAAGAAAAATA GATTCAATTAGTCCGATACCTTGTATAAAACTCATGTTGTGAAGAA  
 ATATTGATCGCATAGAGTGTACGAATGGGTGATTAACAATTCACAGATGAAAAAATGGCAAAAAAGAA  
 AGCATTCACTCCTCTTTCTATCTTGCATCTATAGTATTTTGCCTGGTGGATTTCTTTCTCAGTTAATAAAA  
 TGCTCGGAATCTGGGTTACCAATTTGGTGGAACTACTGGGCAATCCGAAATTTTTTTGAAATAATATTCAAGA  
 AAA GAGTCTTCTAGAAAAATTCATAGAATTAGAGGAACCTCTCTTCTTGGACGAAATGATCAAGGAATACT  
 CGGAAACACATCTCGAAGAGTTTGGGATAG GAATCCATAAAGAAACGATCCAAATTAATCAAGATACAAAA  
 TGA GAATCGATCCCATACGATTTTTCGACTTCTCGACAAATATCATCTGTTTTATTATTCTAAGCGGGTATT  
 AATTTTGGGTAATGAAAACTTGTATTCTTAACTCTTGGGCTCAGGAATTCCTATATAACTTAAGTGACAC  
 AGTAAAAAGCTTTTTCTATTCTTTTAACTGATTTATGATATCGGATTCAATTCACCCACGGTTGGGAATT  
 AATGATTTGGCTATCTATAAAGATTTTGGATTTGTTCAATGATCAAAATCATACTGGTCTGTTTCTCCAC  
 CTTTCCAGTCACTTCGATACAATTTTAAATATTGGATTTCCGTTATTTAAATCGTCTGCTCCGTCACCT  
 GTAGTATTTATCAATCAATGAATGACTGATAAAGGATCCATTGATATTAATCTAATCCAATTAAGATGCTT  
 GGTACTTTGTAGTTGTACATAAGCAAAAGTATTGAAAAATCATAATTTACTCTTTCTATTCTAACCATCGGGGA  
 GATTATCCTATATTATTCCTAGATTATCCAGCAATAGCA GAATCGTGGTAGGGAATATACTAGCGGA  
 CCTACCCTAATTTATTGTAGAAATTTTCGCGATCAATGATTGGACCATGCAAACTAGAAATGCTTTTTCTGG  
 CTAAGAAACAGATTACTCGATCTATTTCCGTATCGCTCATGATATATCTTAACTCGGACATCCATTTCA  
 AGTGCATATCCCATTTTTGCACAGCAGGGTTATGAAAAATCCACGAGAAAGGACTGGGCGTATTGTATGTGC  
 CAATTGCCATTTAGCTAATAAGCCGTTGGAGATTGAGGTTCCACAAGCGGTACTTCTGATACTGTATTGTG  
 AAGCAGTTGTCAAAATTCCTTATGATATGCAACTGAAACAGGTTCTTGTCAATGGTAAAAGGGGGGGGTTG  
 AACGTGGGGGCTGTTCTATTTTACCAGGGGGTTGAATTAGTCTCCCGATCGTATTCTCCCGAGATG  
 AAAGAAAAGATTGGCAATTTGTTCTTTTCAGAGCTATCGCCCAATAAAAAAAAAATTTCTGTGATAGGCC  
 TGTCCTGGTCAAAAAATAGTGAATAAATTCCTTCTTCTTCCCGGACCTGCTACTAAGAAGGATG  
 TTCACTTCTAAAAATCCTATATACGTAGGCGGGAACAGGGGAAGGGGTCAGATTTATCCCGACGGCAGC  
 AAGAGTAAACAATACTGTTTATAATGCTACAGCAGCAGGTATAGTAAGCAAAATCATAACGAAAAGAAAAGG  
 GTGGGTATGAGATAACCATACGGATGCGTGGGATGGACGTTCAAGTGGTTGATATTATCCCTCCCGGACCA  
 GAATCTTTGTTTCCGAGGG

شکل شماره ۳- توالی قطعات DT و OA همراه موقعیت توالیهای تشخیص آنزیمهای محدود کننده HaeIII و Hinfi در cpDNA گیاه تنباکو *Nicotina tabacum*

جدول شماره ۴- جزئیات در مورد اندازه نمونه برداری، موقعیت، تعداد افراد در هر هاپلوتایپ و فراوانی هاپلوتایپ‌ها در جمعیت‌های مطالعه شده *Fagus orientalis* ایران.

محل	گوناگونی	هاپلوتایپ‌های PCR-RFLP			اندازه نمونه برداری	فراوانی هاپلوتایپ‌ها در هر جمعیت				
		۲*	۳**	۴***		۲	۳	۱۴		
									OA	DT
گ-۲۰۰۰	۱	۳	۵	۰	۰	۰	۱/۰	۰/۰	۰/۰	۵
گ-۱۴۰۰	۱	۳	۵	۰	۰	۰	۱/۰	۰/۰	۰/۰	۵
گ-۶۰۰	۱	۳	۵	۰	۰	۰	۱/۰	۰/۰	۰/۰	۵
ن-۱۴۰۰	۱	۳ و ۴	۴	۱	۰	۰	۰/۸	/۰/۰	۰/۰	۵
ن-۹۰۰	۱	۳	۵	۰	۰	۰	۱/۰	۰/۰	۰/۰	۵
س-۱۹۰۰	۱	۳	۵	۰	۰	۰	۱/۰	۰/۰	۰/۰	۵
س-۱۴۰۰	۱	۳	۵	۰	۰	۰	۱/۰	۰/۰	۰/۰	۵
س-۹۰۰	۱	۳	۵	۰	۰	۰	۱/۰	۰/۰	۰/۰	۵
خ-۲۰۰۰	۱	۳	۵	۰	۰	۰	۱/۰	۰/۰	۰/۰	۵
خ-۱۲۰۰	۱	۳	۵	۰	۰	۰	۱/۰	۰/۰	۰/۰	۵
خ-۶۰۰	۴	۳	۰	۰	۰	۰	۰/۰	۰/۰	۱/۰	۶
الف-۱۹۰۰	۱	۳ و ۴	۳	۲	۰	۰	۰/۶	۰/۴	۰/۰	۵
الف-۱۲۰۰	۱	۳ و ۴	۳	۲	۰	۰	۰/۶	۰/۴	۰/۰	۵
الف-۶۰۰	۱	۳ و ۴	۳	۳	۰	۰	۰/۵	۰/۵	۰/۰	۶
کل		۵۸	۸	۶	۷۲	۰/۷۹	۰/۱۰۲	۰/۰۸		

\*، فراوانترین هاپلوتایپ در شمال اروپا و شمال ایتالیا + ۲ جمعیت در بلغارستان (اطلاعات شفاهی دریافت شده از Giannini, ۲۰۰۲).

\*\*، فراوانترین هاپلوتایپ در شمال اروپا و شمال ایتالیا + ۲ فرد یک جمعیت در بلغارستان (اطلاعات شفاهی دریافت شده از Giannini, ۲۰۰۲).

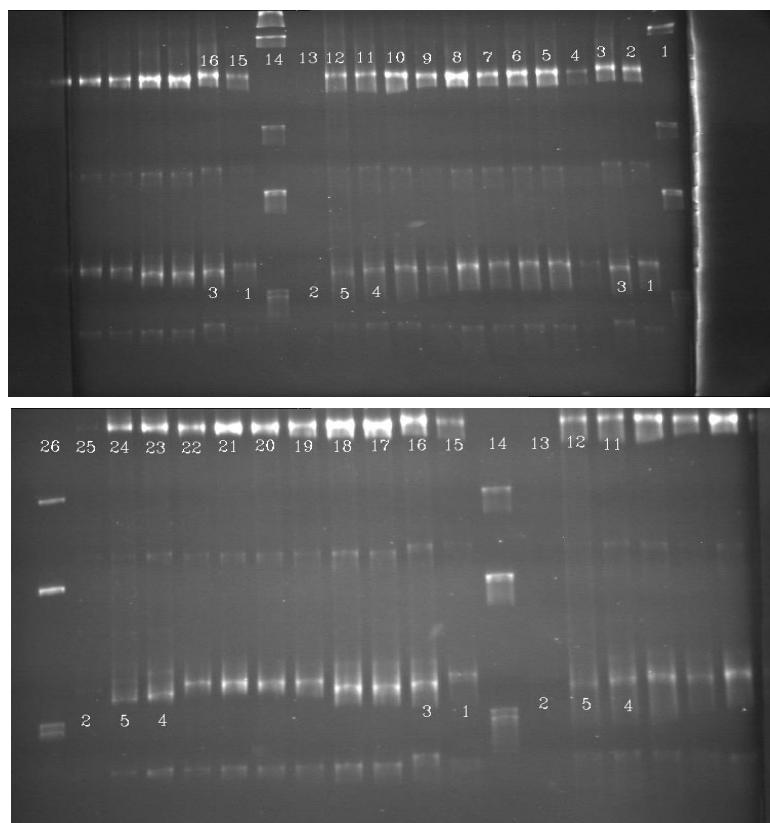
\*\*\*، یک جمعیت در ایران.



جدول شماره ۵- توالیهای نوکلئوتیدی هاپلوتاایپها فقط میکروساتلایت‌های پلی مورفیک مناطق پلی مورفیک DT و OA گزارش شده‌اند

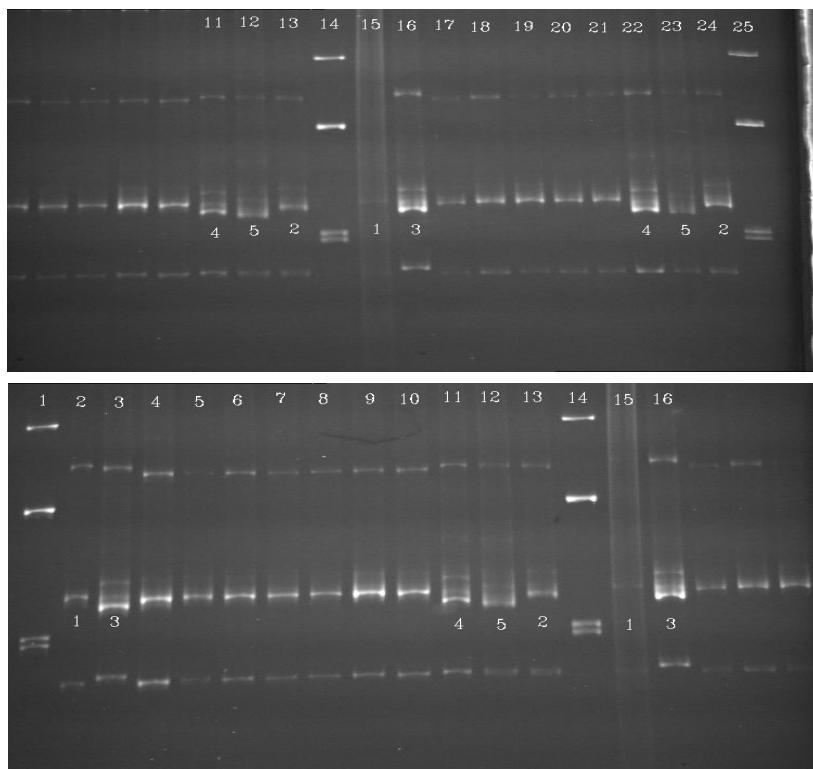
هاپلوتاایپ	منطقه DT		منطقه OA		
	DT-CDR 1		OA-CDR1	OA-CDR2	OA-CDR3
2	(231) CAATGAAAAAAAAA--GAG (1660)		(936) TTATCTTTTTTTT-GTT (96) GTCATTTTTTTT-GATCA (59) ATAGTTTTTTTT---CAA (2889)		
3	(231) CAATGAAAAAAAAA--GAG (1660)		(936) TTATCTTTTTTTT-GTT (96) GTCATTTTTTTT-GATCA (59) ATAGTTTTTTTT---CAA (2890)		
14	(231) CAATGAAAAAAAAA-GAG (1664)		(936) TTATCTTTTTTTT-GTT (96) GTCATTTTTTTT-GATCA (59) ATAGTTTTTTTT---CAA (2889)		

اعداد درون پرانتز نشان دهنده شماره توالیها در محل میکروساتلایتها هستند.



شکل شماره ۴- الکتروفورز فرآورده‌های PCR-RFLP منطقه DT در برخی نمونه‌ها از جمعیت‌های ذکر شده در جدول (کد نمونه استاندارد و محل و نام درخت). دو تصویر متعلق به دو بخش یک ژل می‌باشد.

شماره	نمونه
۱	نشانگر ۱۰۰ bp
۲	نمونه استاندارد ۱
۳	نمونه استاندارد ۳
۴	س-۱۹۰۰-۲
۵	س-۱۹۰۰-۴
۶	س-۱۹۰۰-۵
۷	س-۱۹۰۰-۶
۸	س-۱۹۰۰-۱۰
۹	خ-۶۰۰-۱
۱۰	خ-۶۰۰-۶
۱۱	نمونه استاندارد ۴
۱۲	نمونه استاندارد ۵
۱۳	نمونه استاندارد ۲
۱۴	نشانگر 1kbp
۱۵	نمونه استاندارد ۱
۱۶	نمونه استاندارد ۳
۱۷	ح-۶۰۰-۱۱
۱۸	ح-۶۰۰-۱۲
۱۹	س-۱۴۰۰-۵
۲۰	س-۱۴۰۰-۷
۲۱	س-۱۴۰۰-۲
۲۲	گ-۲۰۰۰-۱
۲۳	نمونه استاندارد ۴
۲۴	نمونه استاندارد ۵
۲۵	نمونه استاندارد ۲
۲۶	نشانگر ۱۰۰ bp



شکل شماره ۵- الکتروفورز فراورده‌های PCR-RFLP منطقه DT در برخی نمونه‌ها از جمعیت‌های ذکر شده در جدول (کد نمونه استاندارد و محل و نام درخت). دو تصویر متعلق به دو بخش یک ژل می‌باشد.

شماره	نمونه
۱	نشاکر ۱۰۰ bp
۲	نمونه استاندارد: ۱
۳	نمونه استاندارد: ۳
۴	س-۹۰۰
۵	گ-۲۰۰۰
۶	گ-۱۴۰۰
۷	ک-۶۰۰
۸	ن-۹۰۰
۹	ن-۹۰۰
۱۰	خ-۲۰۰۰
۱۱	نمونه استاندارد: ۴
۱۲	نمونه استاندارد: ۵
۱۳	نمونه استاندارد: ۲
۱۴	نشاکر، 1kbp
۱۵	نمونه استاندارد: ۱
۱۶	نمونه استاندارد: ۳
۱۷	خ-۲۰۰
۱۸	الف-۱۹۰۰
۱۹	الف-۱۹۰۰
۲۰	الف-۶۰۰
۲۱	الف-۶۰۰
۲۲	نمونه استاندارد: ۴
۲۳	نمونه استاندارد: ۵
۲۴	نمونه استاندارد: ۲
۲۵	نشاکر ۱۰۰ bp



شکل شماره ۶- توزیع جغرافیایی هاپلوتایپ‌های مشاهده شده در جمعیت‌های مورد مطالعه ایران (هاپلوتایپ ۲: رنگ طوسی تیره، هاپلوتایپ ۳: رنگ طوسی روشن و هاپلوتایپ ۱۴: رنگ سیاه).

## منابع مورد استفاده

- ۱- پارسا پژوه، د. ۱۳۵۵. تحقیق روی کمیت‌های فیزیکی چوب‌های راش ایران در مناطق مختلف رویشی. مجله منابع طبیعی ایران. ۳۴: ۲۱-۳۴
- ۲- حبیبی، ح. ۱۳۵۴. مطالعه وضعیت عناصر (N, P, K, Ca) خاک جنگلهای راش در ایران و بررسی نقش آنها روی رشد راش. مجله منابع طبیعی ایران. ۳۲: ۴۷-۶۲
- ۳- حبیبی، ح. ۱۳۶۴. مطالعه خاک جنگلهای راش در ایران و بررسی نقش آن بر توسعه انواع مختلف راش. مجله منابع طبیعی ایران. ۳۹: ۶-۱۸.
- ۴- صالحی شانجانی، پ. ۱۳۸۱. تنوع ژنتیکی راش شرقی و ارتباط آن با برخی ویژگی‌های فیزیولوژیکی، بیوشیمیایی و مورفولوژیکی راش در راشستانهای ایران. رساله دکتری دانشکده علوم، دانشگاه تربیت معلم تهران، ایران. ۲۲۰ صفحه
- ۵- مروی مهاجر، م. ۱۳۵۵. برخی ویژگی‌های کمی جنگلهای راش ایران. مجله منابع طبیعی ایران. ۳۴: ۷۷-۹۷.
- 6- Abbott, R. J., Smith, L. C., Milne, R. I., Crawford, R. M. M., Wolff, K. and Balfour, J., 2000. Molecular analysis of plant migration and refugia in the arctic. *Science*, 286: 1343 - 1346.
- 7- Avise, J. C., Arnold, J., Ball, R. M., Bermingham, E., Lamb, T., Neigel, J. E., Reeb, C. A. and Sauners, N. C., 1987. Intraspecific phylogeography: the mitochondrial bridge between population genetics and systematics. *Annual Review of Ecology and Systematics* 18: 489 - 522.
- 8- Birky, C. W., P. Fuerst and T. Maruyama. 1989. Orangelle gene diversity under migration, and drift: Equilibrium expectations, approach to equilibrium, effects of heteroplasmic cells, and comparison to unclear gens. *Genetics*, 121: 631 - 627.
- 9- Demesure, B., Sodji, B. N. and Petit, R. J., 1995. A set of universal primers for amplification of polymorphic noncoding regions of mitochondrial and chloroplast DNA in plants. *Molecular Ecology*, 4: 129 - 131.

- 10- Demesure, B., Comps, B., and Petit, R. J., 1996. Chloroplast DNA phylogeography of the European beech (*Fagus sylvatica* L.) in Europe. *Evolution*, 50(6): 2515 - 2520.
- 11- Dumolin-Lapégue S., Demesure, B. and Petit, R. J. 1995. Inheritance of chloroplast and mitochondrial genomes in pedunculata oak investigated with an efficient PCR method. *Theor. Appl. Genet.* 91: 1253 - 1256.
- 12- Dumolin-Lapégue S., Demesure, B., Lecorre, V., Fineschi, S. and Petit, R. J., 1997. Phylogeographic structure of white oaks throughout the European continent. *Genetics*, 146: 1475 - 1487.
- 13- Dumolin-Lapégue, S., Pemonge, M. H. and Petit, R. J., 1998. Association between chloroplast and mitochondrial lineage in oaks. *Biol. Evol.*, 15: 1321 - 1331.
- 14- Ennos, R. A., 1994. Estimating the relative rates of pollen and seed migration among plant populations *Heredity*, 80: 548 - 593.
- 15- Farris, M. A. and Mitton, J. L. 1984. Population density out-crossing rate and heterozygote superiority in ponderosa pine. *Evolution*. 38: 1151 - 1154.
- 16- Fineschi, S. Turchini, F., Villani, F., and Vendramin, G. G., 2000. Chloroplast DNA polymorphism reveals little geographical structure in *Castanea sativa* Mill. (Fagaceae) throughout southern European countries. *Molecular Ecology*, 9: 1495 - 1503.
- 17- Fujii, N., Tomaru, N., Okuyama, K., Koike, T., Mikami, T., and Ueda, K., 2002. Chloroplast DNA phylogeography of *Fagus crenata* (Fagaceae) in Japan. *Plant Syst. Evol.*, 232(1-2): 21 - 33.
- 18- Grivet, G., Heinze, B., Vendramin, G. G. and Petit, R. J., 2001. Genome walking with consensus primers: application to the large single copy region of chloroplast DNA. *Molecular Ecology Notes* 1.
- 19- Kim, K. J., Jansen, R. K. and Turner, B. L. 1992. Evolutionary implications of intraspecific chloroplast DNA variation in Dwarf Dandelions (*Krigia*, Asteraceae). *American Journal of Botany*, 79: 708 - 715.
- 20- King, R. A. and Farris, C., 1998. Chloroplast phylogeography of *Alnus glutinosa* (L.) Gaertn. *Molecular Ecology*, 7: 1151 - 1161.
- 21- Mayer, M. S., Soltis, P. S., Soltis, D. E., 1994. The evolution of the *Streptanthus glandulosus* complex (Cruciferae): genetic divergence and gene flow in serpentine endemics. *Amer. J. Bot.*, 81: 1288 - 1299.

- 22- McCauley, D.E. 1994. Contrasting the distribution of chloroplast DNA and allozyme polymorphism among local populations of *silene alba*: Implications for studies of gens flow in plants. *Proc. Nat. Acad. Sci. USA.* 91: 8127 - 8131.
- 23- Nei, M. 1977. F-statistics and analysis of gene diversity in subdivided populations. *Ann. Hum. Genet.* 41: 225 - 233.
- 24- Paffetti, D., Vettori, C. and Giannini, R. 2001. Relict populations of *Quercus calliprinos webb* on Sardinia islan identified by chloroplast DNA.
- 25- Petit, R. J., A. Kremer, and D. B. Wagner., 1993a. Finite island model for organelle and nuclear genes in plants. *Heredity* 71: 630 - 641.
- 26- Petit, R., Kremer, A., and Wagner, D. B., 1993b. Geographic structure of chloroplas DNA polymorphisms in European oaks. *Theoretical and Applied Genetics* 87: 122 - 128.
- 27- Petit, R. J., El Mousadik A. and Pons, O., 1997. Identifying populations for conservation on the basis of genetic markers. *Conserv. Biol.* 12: 844 - 855.
- 28- Petit, R. J., 1999. *Diversité Génétique et Historie des Populations d' Arbres Forestiers. Dossier d' habilitaion à diriger des recherches, Université de Paris- Sud, Université Formation de Recherche Scientifique d' Orsay, Paris.*
- 29- Pons, O. and Petit, R.J., 1995. Estimation, variance and optimal sampling of gene diversity. 1. Haploid locus. *Theoretical and Applied Genetics* 90: 462 - 470.
- 30- Pons, O., and petit, R. J., 1996. Measuring and testing genetic differentiation with ordered versus unordered alleles. *Genetics*, 144: 1237 - 1245.
- 31- Salvini, D., Anzidei, M., Fineschi, S., Malvoti, M. E., Turchini, D. and Vendramin, G. G. 2001. Low genetic differentiation among Italian populations of *Populus tremula* L. (Salicacea) estimated using chloroplast PCR-RFLP and microsatellite markers. *Forest Genetics.* 8 (1): 81 - 87
- 32- Sewell, M. M., Parks C. R., Chase, M. W., 1996. Interspecific chloroplast DNA variation and biogeography of North American *Liriodendron* L. (Magnoliaceae). *Evolution*, 50: 1147 - 1154.
- 33- Soltis, D. E., Soltis, P. S., Ranker, T. A. and Ness, B. D., 1989. Chloroplast DNA variation in a wild plant, *Tolmiea menziesii*. *Genetics*, 121: 819 - 826.
- 34- Soltis, D. E., Mayer, M. S., Soltis, P. S. and Edgerton, M., 1991. Chloroplast DNA variation in *Tellima grandiflora* (Saxifragaceae). *American Journal of Botany* 78: 1379 - 1390.

- 35- Soltis, D. E., Soltis, P. S., Kuzoff, R. K. and Trucker, T. L. 1992a. Geographic structuring of chloroplast DNA genotypes in *Tiarella trifoliata* (Saxifragaceae). *Plant systematics and Evolution*, 181: 203 - 216.
- 36- Soltis, D. E., Soltis, P. S. and Milligon, B. G., 1992b. Intraspecific chloroplast DNA variation: systematic and phylogenetic implications. In: Soltis, P. S., Soltis, D. E. and Doyle, J. J. (Eds) *Molecular systematics of plants*. Chapman and Hall, New York. 529 p.
- 37- Tarbelet, P., Fumagalli, L., Wust-Saucy, A.-G. and Cosson, J.-F., 1998. Comparative phylogeography and postglacial colonization routes in Europe. *Mol. Eco.*, 7: 453 - 464.
- 38- Tremblay, N. O. and Schoen, D. J., 1990. Molecular phylogeography of *Dryas integrifolia*: glacial refugia and postglacial recolonization. *Molec. Ecol.*, 8: 1187 - 1198.
- 39- Van Dijk, P. and Bakx- Schotman T., 1997. Chloroplast DNA phylogeography and cytotype geography in autopolyploid *Plantago media*. *Molec. Ecol.*, 6:345 - 352.
- 40- Whittemore, A. T. and Schaal, B. A., 1991. Interspecific gene flow in sympatric oaks. *Proc. Natl. Acad. Sci.*, 88: 2540 - 2544.
- 41- Wolf, P. G. Murray, R. A. and Sipes, S. D., 1997. Species- independent, geographical structuring of chloroplast DNA haplotypes in a montane herb *Ipomopsis* (Polemoniaceae). *Molec. Ecol.*, 6: 283 - 291.
- 42- Wolfe, K. H., Li, W. H. and Sharp, P. M., 1987. Rates of Nucleotide substitution vary greatly among plant mitochondrial, chloroplast and Nuclear DNAs. *Proc. Natl. Acad. Sci.*, 84: 9054 - 9058.